

Wpływ zadrzewienia stref nadbrzeżnych na warunki termiczne niewielkich cieków nizinnych w okresie letnim

The influence of riparian woodland on the thermal conditions of small lowland streams during the summer

Maksym Łaszewski^{1*} , Wojciech Kiryła²

¹Uniwersytet Warszawski, Wydział Geografii i Studiów Regionalnych, Zakład Hydrologii, ul. Krakowskie Przedmieście 30, 00-927 Warszawa; ²Instytut Geodezji i Kartografii, Centrum Teledetekcji, ul. Kaczmarskiego 27, 02-679 Warszawa

*Tel. +48 601189824, e-mail: m.laszewski@uw.edu.pl

Abstract. Riparian woodlands significantly affect the water quality of streams and rivers. Thus, we examined whether the presence of woodlands in riparian buffer zones also impacts the thermal characteristics of lowland streams during the summer. Water temperature data was recorded with digital temperature loggers located in eight quasi-natural sites across the Garwolin Plain in central Poland. The mean, maximum, minimum, and mean daily range parameters were calculated for the whole study period from July to September 2017 with 30 min. resolution. The contribution of woodlands in the catchment area and buffer zone along the streams was estimated based on satellite images from the Sentinel-1 and Sentinel-2 missions. The Random Forest method was used in the classification process with an accuracy of 96%. Similarity of measurement sites in terms of water temperature was determined using cluster analysis (Ward method), while a Spearman correlation coefficient was applied to link thermal parameters with the contribution of woodland areas.

The results indicate that water temperature patterns across the measurement sites varied, with mean temperatures ranging from 14,4°C in site T8 to 16,3°C in site T1. Furthermore, the correlation analysis confirmed our hypothesis that the presence of woodland areas does not significantly alter the thermal parameters of lowland streams. Moreover, cluster analysis showed that sites with significantly different contributions of woodland areas were linked closely due to similar distributions of water temperature values. However, it must be emphasized that the lack of the riparian woodland in buffer zones does not exclude the presence of shade associated with shrubs and grasses, as well as aquatic plants. In consequence, more advanced indicators of riparian shade, such as vegetation mapping using UAV or hemispherical photography, should be employed for small lowland streams.

Keywords: water temperature, satellite images, woodland area, lowland streams

Słowa kluczowe: temperatura wody, obrazy satelitarne, obszary zadrzewione, cieki nizinne

1. Wstęp

Problematyka dotycząca wpływu obszarów leśnych na ilość i jakość zasobów wodnych zajmuje ważne miejsce w literaturze hydrologicznej i odznacza się dużą różnorodnością podejmowanych wątków badawczych (Pierzgalski 2008). Najwięcej uwagi poświęcono dotychczas retencyjnej funkcji lasów, mającej istotne znaczenie w kształtowaniu odpływu zlewni (Brown et al. 2013) oraz łagodzeniu negatywnych skutków zdarzeń ekstremalnych – wezbrań oraz niżówek (Robinson et al. 2003; Lin, Wei 2008). Wykazano, że obecność obszarów leśnych w zlewni warunkuje intensywność ewapotranspiracji (Peel et al. 2010), a także udowodniono wpływ

wylesiania zlewni oraz degradacji drzewostanu (w wyniku gradacji szkodników) na skład chemiczny wód, między innymi stężenie azotanów (Kosmowska et al. 2015; Żelazny et al. 2017). Obecność obszarów leśnych silnie oddziałuje również na lokalny mikroklimat, który odpowiada za kształtowanie bilansu cieplnego wód rzecznych, a w rezultacie ich temperatury (Caissie 2006). Temperatura wody stanowi natomiast jeden z najważniejszych parametrów jakości wody o fundamentalnym znaczeniu ekologicznym; jej maksymalne wartości wyznaczają granice występowania poszczególnych gatunków ryb i bezkręgowców, zmienność sezonowa i dobowa warunkuje bioenergetykę oraz tempo procesów fizjologicznych, natomiast czas występowania określonych

Wpłynęło: 26.06.2018 r., recenzowano: 6.08.2018 r., zaakceptowano: 20.08.2018 r.

wartości w ciągu roku ma duże znaczenie w kontekście migracji i tarła (Benjamin et al. 2016).

Studia dotyczące wpływu obszarów leśnych na ustrój termiczny cieków koncentrowały się na porównaniu wybranych cech termicznych w punktach pomiarowych osłoniętych przez drzewa oraz tych pozbawionych zacielenia, położonych w profilu podłużnym pojedynczego cieku (Malcolm et al. 2004; Imholt et al. 2013a), jak również w obrębie większej liczby zlewni (Kristensen et al. 2015). Poruszano także zagadnienia związane z wpływem wylesiania (Stott, Marks 2000) oraz pożarów lasów (Mahlum et al. 2011) na zmiany cech termicznych wód rzecznych. Udział powierzchni leśnych włączano również – jako zmienną wyjaśniającą – w skład modeli statystycznych, łączących metryki krajobrazowe z parametrami termicznymi (Hrachowitz et al. 2010; Imholt et al. 2013b). Należy podkreślić, że materiał empiryczny większości opracowań dotyczył rzek górskich bądź wyżynnych, odznaczających się dużym spadkiem oraz brakiem zarastania koryta.

Celem niniejszej pracy jest ocena wpływu obszarów zadrzewionych na temperaturę wody cieków nizinnych. Na podstawie własnych pomiarów temperatury wody oraz identyfikacji obszarów zadrzewionych z wykorzystaniem klasyfikacji obrazów satelitarnych zbadano czy wielkość udziału powierzchni zadrzewionych znajduje odbicie w charakterystykach termicznych cieków w okresie letnim. Na potrzeby opracowania porównano osiem zlewni nizinnych położonych w centralnej Polsce, odznaczających się zróżnicowanym stopniem zadrzewienia zlewni oraz stref nadbrzeżnych.

2. Obszar badań

Cieki objęte pomiarami temperatury wody należą do sieci hydrograficznej środkowego Świdra, będącego nizinym dopływem Wisły, o długości 99 km i powierzchni zlewni 1160,7 km². Zlewnie zamykające punkty pomiarowe położone są w obrębie płaskiej, denudacyjnej Równiny Garwolińskiej, w której podłożu dominują polodowcowe piaski, żwiry oraz gliny zwałowe; ich wysokość bezwzględna waha się od 117 do 178 m n.p.m. Obszar położony jest w strefie klimatu umiarkowanego o cechach przejściowych, ze średnią roczną temperaturą powietrza wynoszącą ok. 8–9°C oraz roczną sumą opadów ok. 500–550 mm. Koryta cieków odznaczają się prostym bądź krętym przebiegiem, niewielką głębokością (maksymalnie 80–100 cm) i szerokością wynoszącą przeciętnie 1–2 m. Na niektórych odcinkach ich brzegi porastają głównie łągi jesionowo-olszowe *Fraxino-Alnetum* oraz wierzbowo-topolowe *Salici-Populetum*. Oprócz łągów zbiorowiska leśne zlewni tworzą zwarte kompleksy kontynentalnego boru mieszanego *Quercus roboris-Pinetum*, składającego się głównie z sosny zwyczajnej *Pinus sylvestris* L., brzozy *Betula* L., oraz dębu *Quercus* L. Badany obszar odznacza się niewielkim stopniem urbanizacji – udział powierzchni antropogenicznych osiąga udział od 0,1% w zlewni T6 do 7,0% w T4.

3. Metody i materiały

3.1. Pomiary terenowe

Pomiary temperatury wody prowadzono w okresie od 1 lipca do 30 września 2017 roku. Tak dobrany zakres miał na celu wykluczenie czasowej zmienności stopnia zacielenia, związanej z obecnością drzew iglastych i liściastych – założono, że począwszy od lipca liście drzew są już w pełni rozwinięte, co umożliwiło wydzielenie jednej klasy, bez względu na rodzaj drzew. Dane pomiarowe pozyskano z cyfrowych rejestratorów temperatury wody HOBO UA-001-08 Pendant (Onset Computer Corporation) o dokładności 0,4°C oraz rozdzielczości 0,01°C. Urządzenia umieszczono w nurcie w perforowanych osłonach, przymocowanych do głazów bądź drewnianych kłód i pali. Punkty pomiarowe zlokalizowano w ciekach zapewniających stabilny przepływ wody w ciągu okresu letniego, a także odznaczających się zróżnicowanym stopniem zadrzewienia stref buforowych (nadbrzeżnych) (ryc. 1). Wybrano cztery zlewnie reprezentujące cieki I rzędu, których powierzchnia nie przekroczyła 10 km², a także cztery zlewnie o większej powierzchni (od 18,5 do 38,7 km²), reprezentujące cieki II rzędu (tab. 1).

3.2. Ocena udziału zadrzewienia

Identyfikację obszarów zadrzewionych przeprowadzono w oparciu o klasyfikację obrazów satelitarnych pozyskanych przez satelity Sentinel-1 oraz Sentinel-2. W przypadku da-

Tabela 1. Charakterystyka punktów objętych pomiarami temperatury wody

Table 1. Characteristics of water temperature measurements sites

P	A [km ²]	L [km]	W:D [-]	W1 [%]	W2 [%]	W3 [%]
T1	23,8	9,2	15,7	33,4	24,3	0,0
T2	7,5	5,1	11,3	29,1	44,4	67,8
T3	19,0	6,4	7,5	50,8	61,5	15,8
T4	9,3	5,4	10,3	12,7	9,7	0,0
T5	38,7	11,9	32,8	29,3	30,9	96,5
T6	8,4	5,6	6,9	13,1	9,3	52,1
T7	18,5	6,1	10,2	57,1	43,2	0,0
T8	9,1	5,1	10,2	57,9	48,1	1,4

Objaśnienia / Explanations: P – punkt pomiarowy / measurement profile, A – powierzchnia zlewni / catchment area, L – odległość od źródeł / distance from the source, W:D – współczynnik szerokość:głębokość / width:depth ratio, W1 – udział obszarów zadrzewionych w całkowitej powierzchni zlewni / percentage of woodland area in the catchment area, W2 – udział obszarów zadrzewionych na odcinku do źródeł / percentage of woodland area in the buffer zone upstream to the source, W3 – udział obszarów zadrzewionych na odcinku 1 km / percentage of woodland area in the buffer zone 1 km upstream

nych radarowych Sentinel-1 (typ fali C) wykorzystano obrazy zarejestrowane pomiędzy 1 i 31 maja 2017, 1 i 30 czerwca oraz 1 i 31 października 2017 roku (dla każdego z miesięcy sporządzono oddzielną mozaikę medianową obrazów dla polaryzacji VH oraz VV). W przypadku danych optycznych Sentinel-2 (o rozdzielczości radiometrycznej 12 bitów) wykorzystano zobrazenie wykonane w dniu 17 października 2017 roku, które cechowało się brakiem zachmurzenia (0% pokrycia chmur) i pozwoliło na łatwiejsze odróżnienie lasów od zbóż i roślinności łąkowej. Na potrzeby klasyfikacji wybrano kanały 2, 3, 4, 8 (o rozdzielczości 10 m) oraz kanał 12 (o rozdzielczości 20 m). Korekcję atmosferyczną zobrażenia Sentinel-2 przeprowadzono automatycznie w dedykowanym oprogramowaniu Sen2Cor 2.4.0. Następnie w programie SNAP 6.0.0 dane poddano procesowi resamplingu pikseli do rozdzielczości 10 m oraz przycięciu do granicy analizowanego obszaru. Ostatnim etapem poprzedzającym klasyfikację było połączenie danych radarowych Sentinel-1 z danymi optycznymi Sentinel-2; proces ten prowadzi bowiem do ogólnego zwiększenia dokładności algorytmu klasyfikacyjnego (Bagan et al. 2012).

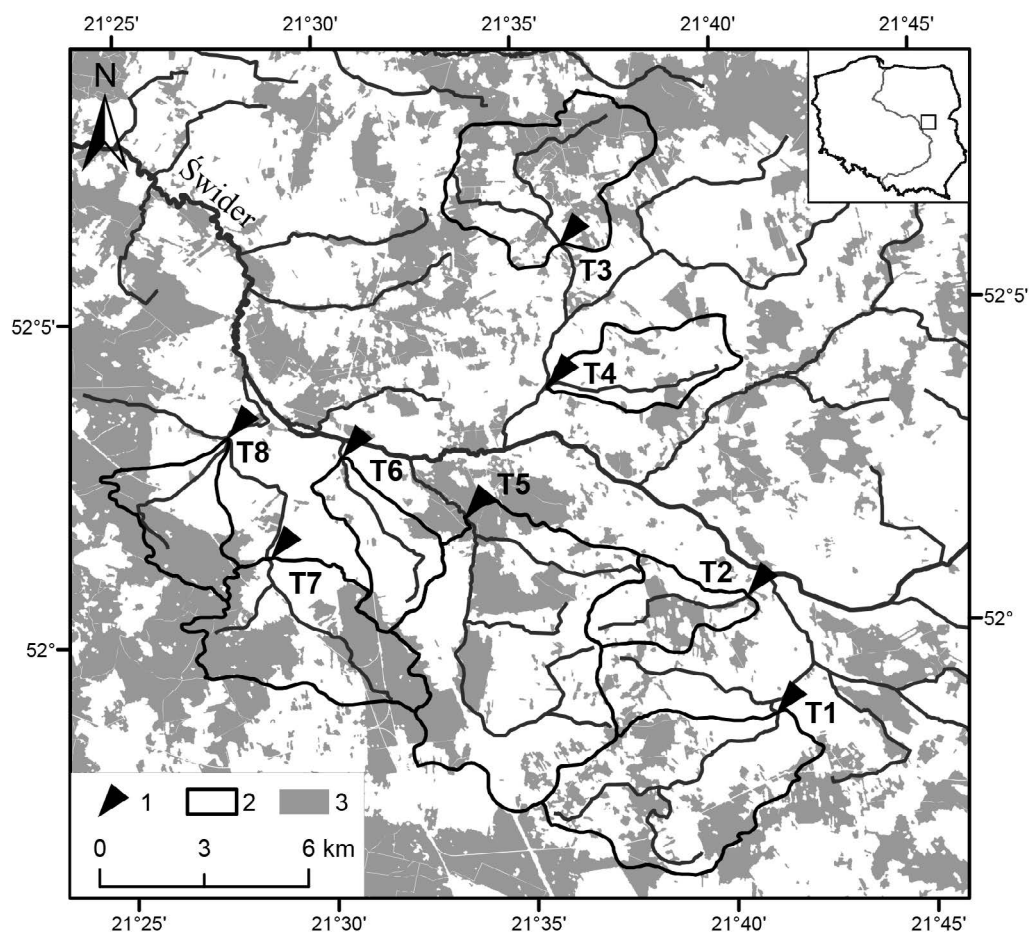
Klasyfikację pokrycia terenu przeprowadzono z wyróżnieniem dwóch klas, tj. obszarów zadrzewionych oraz niezadrzewionych, w programie EnMap Box 2.2.1. Jako algorytm klasyfikacyjny wybrano klasyfikator Random Forest (RF – algorytm losowych drzew decyzyjnych), umożliwiającą

uzyskanie relatywnie najlepszych wyników w porównaniu z innymi algorytmami, np. SVM – Support Vector Machine (Dalponte et al. 2012; Wietecha et al. 2017). Dokładność całkowita klasyfikacji wyniosła 94,9%, dokładność producenta 91,4%, dokładność użytkownika 90,9% w przypadku lasu oraz 96,4% w przypadku obszarów nieleśnych, natomiast współczynnik Kappa – 87,3%.

Wyniki klasyfikacji pozwoliły na obliczenie udziału powierzchni zadrzewionych w obrębie całkowitej powierzchni zlewni (Ptak 2017), strefy buforowej o szerokości 50 m wyznaczonej na obydwu brzegach do źródeł oraz na odcinku 1 km od punktu pomiarowego, podobnie jak u Hrachowitz i in. (2010). Analizy przestrzenne przeprowadzono w programie ESRI ArcMap 10.2.2.

3.3. Metody statystyczne

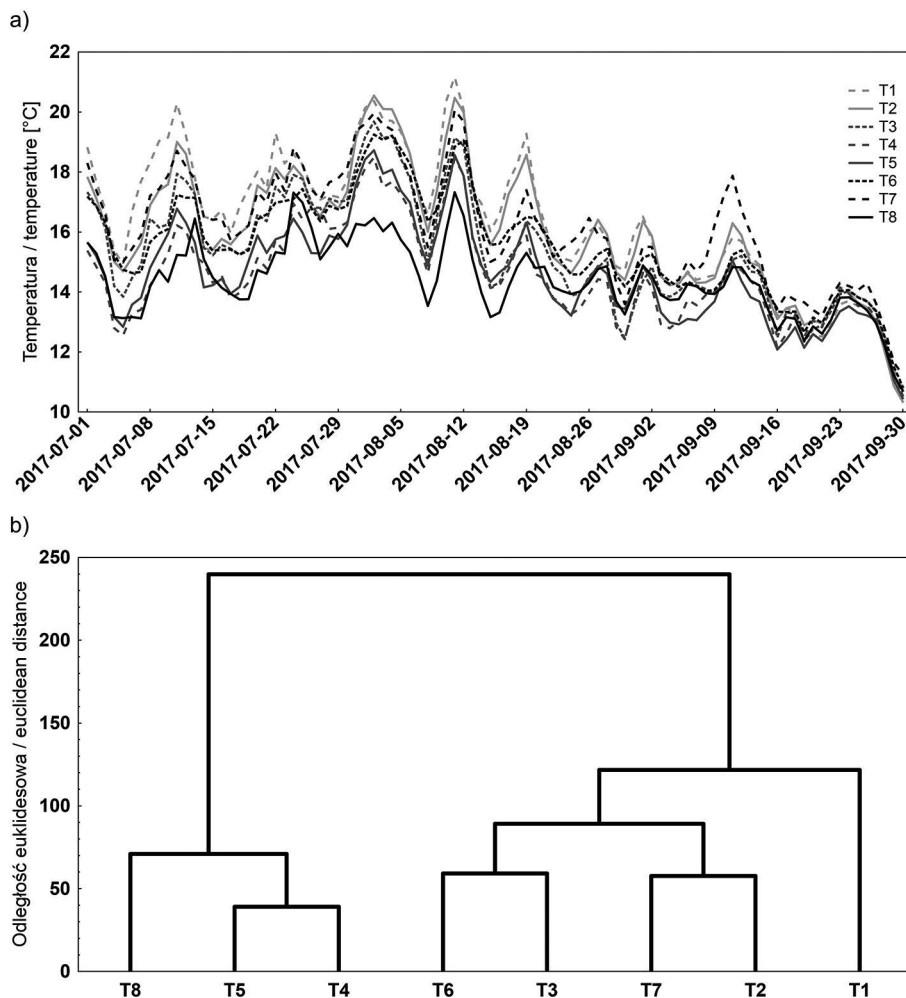
W celu charakterystyki warunków termicznych w badanym okresie dla wszystkich punktów pomiarowych wyznaczono podstawowe parametry statystyczne: temperaturę średnią, maksymalną, minimalną oraz średni zakres dobowy. Sprawdzenie istotności statystycznej różnic rozkładu temperatury wody pomiędzy punktami pomiarowymi wymagało zastosowania nieparametrycznego testu Kruskala-Wallisa oraz testu wielokrotnych porównań średnich rang Dunna (post-hoc); próg istotności statystycznej przyjęto



Rycina 1. Lokalizacja punktów pomiarowych na tle obszarów leśnych i zadrzewionych

Figure 1. Locations of measurement sites on the background of forested and woodland areas

Objaśnienia / Explanations: 1 – punkty pomiarowe temperatury wody / measurement sites, 2 – granice zlewni zamkniętych punktami pomiarowymi / catchment area, 3 – obszary leśne i zadrzewione / forest and woodland areas



Rycina 2. Przebieg średnich dobowych wartości temperatury wody w punktach pomiarowych (a) oraz dendrogram przedstawiający grupowanie punktów pomiarowych metodą Warda (b)

Figure 2. Mean daily water temperature patterns in the measurement sites (a) and dendrogram showing the results of grouping by Ward method (b)

jako $p=0,05$. Do wydzielenia punktów najbardziej zbliżonych pod względem zmienności temperatury wody wykorzystano metodę aglomeracji Warda – za miarę podobieństwa punktów przyjęto odległość euklidesową. Związki pomiędzy udziałem powierzchni zadrzewionych (W1, W2 i W3) i wyznaczonymi parametrami termicznymi określono za pomocą współczynnika korelacji rang Spearmana.

4. Wyniki

W badanym okresie temperatura wody cieków nizinnych odznaczała się wyraźnym zróżnicowaniem przestrzennym (ryc. 2a). Średnie wartości temperatury wody od lipca do września osiągnęły od $14,4^{\circ}\text{C}$ w punkcie T8 do $16,3^{\circ}\text{C}$ w punkcie T1 (tab. 2). Jeszcze większą zmienność przestrzenną zanotowano w przypadku absolutnej maksymalnej temperatury wody, która wyniosła od $18,8^{\circ}\text{C}$ w punkcie T8 do nawet $25,9^{\circ}\text{C}$ w T1. Minimalna temperatura wody osiągnęła we wszystkich punktach zbliżone wartości, od $9,0^{\circ}\text{C}$ w T7 do $10,5^{\circ}\text{C}$ w T6. Zakres dobowy temperatury wody w badanym okresie osiągnął natomiast średnio od $1,0^{\circ}\text{C}$ w T6 do $4,2^{\circ}\text{C}$ w T1. Wynik testu Kruskala-Wallisa wskazuje, że różnice między medianami rozkładu temperatury wody w obrębie

badanych punktów były istotne statystycznie ($p<0,05$); test post-hoc dowodzi jednak braku istotności statystycznej pomiędzy medianami rozkładu temperatury w obrębie punktów T1, T2 oraz T7, a także pomiędzy punktami T4 i T5 ($p>0,05$). Analiza korelacji wskazała, że żadna z metryk przybliżających stopień zadrzewienia powierzchni zlewni oraz stref buforowych (W1, W2 i W3) nie była powiązana w sposób istotny statystycznie z parametrami termicznymi (tab. 3).

Metoda aglomeracji Warda pozwoliła wyróżnić dwa wydzielenia punktów (ryc. 2b). Pierwsze z nich stanowią punkty T4, T5 i T8, reprezentujące ciek odznaczające się najniższymi wartościami średnimi i relatywnie niskimi wartościami maksymalnymi temperatury wody, nie przekraczającymi $20,5^{\circ}\text{C}$ (ryc. 2b). Do drugiego wydzielenia zaliczono z kolei pozostałe punkty T1, T2, T3, T6 oraz T7, które charakteryzowały się wyższymi wartościami średnimi – od $15,4^{\circ}\text{C}$ do $16,3^{\circ}\text{C}$ – oraz maksymalnymi – od $19,6^{\circ}\text{C}$ do $25,9^{\circ}\text{C}$. W obrębie drugiego skupienia zwraca uwagę punkt T1, który odznaczył się najwyższą średnią i maksymalną wartością temperatury wody oraz największą zmiennością dobową o średnim zakresie $4,2^{\circ}\text{C}$. W obrębie skupienia T4, T5 i T8 udział powierzchni zadrzewionych w strefach buforowych był zróżnicowany i osiągnął od 0,0 do 96,5% na odcinku 1 km

Tabela 2. Parametry termiczne wody badanych cieków nizinnych
Table 2. Thermal parameters of water in the investigated sites

P	T_avg [°C]	T_max [°C]	T_min [°C]	T_range [°C]
T1	16,3	25,9	9,6	4,2
T2	16,0	22,4	9,4	2,4
T3	15,4	20,9	9,7	2,3
T4	14,6	20,5	10,0	2,7
T5	14,6	20,4	9,6	2,5
T6	15,6	19,6	10,5	1,0
T7	16,1	21,5	9,0	2,9
T8	14,4	18,8	10,0	2,2

Objaśnienia / Explanations: P – punkt pomiarowy / measurement profile, T_avg – temperatura średnia / mean temperature, T_max – temperatura maksymalna / maximum temperature, T_min – temperatura minimalna / minimum temperature, T_range – średni zakres dobowy temperatury / mean daily range

Tabela 3. Współczynniki korelacji rang Spearmana opisujące związki parametrów termicznych wody z udziałem powierzchni zadrzewionych (metryki W1, W2 i W3). Pogrubiono współczynniki istotne statystycznie ($p < 0,05$)

Table 3. Spearman correlation coefficients between water temperature parameters and contribution of woodland area (metrics W1, W2, and W3). Statistically significant correlation values are bolded ($p < 0,05$)

	T_avg	T_max	T_min	T_range	W1	W2	W3
T_avg	1,00						
T_max	0,83	1,00					
T_min	-0,57	-0,72	1,00				
T_range	0,51	0,71	-0,64	1,00			
W1	-0,01	-0,02	-0,31	0,02	1,00		
W2	-0,19	0,07	-0,34	-0,19	0,71	1,00	
W3	-0,27	-0,29	0,02	-0,56	-0,22	0,15	1,00

oraz od 9,7 do 48,1% na odcinku do źródeł. Podobna sytuacja miała miejsce w przypadku cieków cieplejszych (T1, T2, T3, T6 i T7), gdzie udział powierzchni zadrzewionych wyniósł od 0,0 do 67,8% na odcinku 1 km oraz od 9,3% do 61,5% na odcinku do źródeł. W rezultacie punkty odznaczające się zbliżonym stopniem zadrzewienia stref nadbrzeżnych, tak jak w przypadku T7 i T8, charakteryzowały się odmiennymi warunkami termicznymi i były włączone do oddzielnych skupień (ryc. 2b).

5. Podsumowanie i wnioski

Jak udokumentowano w literaturze, bilans cieplny wód płynących kształtowany jest głównie przez radiacyjne strumienie energii, przede wszystkim promieniowanie słoneczne oraz promieniowanie długofalowe (Caissie 2006). Osłonięcie lustra wody przez drzewa i krzewy ma w rezultacie istotny wpływ na ich modyfikacje – udowodniono, że w efekcie pochłaniania i odbijania promieniowania słonecznego roślinność powoduje istotne obniżenie wartości temperatury maksymalnej (Imholt et al. 2013a). Zwarte korony drzew ograniczają także nocne wypromieniowanie ciepła z wody oraz emitują własne promieniowanie długofalowe, powodując podwyższenie wartości temperatury minimalnej, a w konsekwencji zmniejszenie jej dobowych wahań (Brown et al. 2010). W przypadku niewielkich cieków nizinnych udział powierzchni zadrzewionych, wyznaczonych w obrębie ich zlewni oraz stref nadbrzeżnych na podstawie zobrazowania satelitarnego, nie znalazł jednak jednoznacznego odbicia w wartościach poszczególnych parametrów termicznych, na co wskazały otrzymane wartości współczynników korelacji rang. Zarówno punkty pomiarowe, charakteryzujące się znaczącym udziałem drzew w strefie nadbrzeżnej, jak i te zupełnie pozbawione zacielenia, odznaczyły się w badanym okresie zbliżonymi warunkami termicznymi. Przykładowo, pomimo zdecydowanie odmiennego stopnia zadrzewienia stref nadbrzeżnych w punktach T4 i T5 stwierdzono bardzo zbliżone wartości parametrów termicznych. Analogiczny przypadek stanowiły punkty T2 i T7, które charakteryzowały się podobnymi średnimi, maksymalnymi oraz minimalnymi wartościami temperatury wody. Należy podkreślić, że brak powierzchni zadrzewionych nie wykluczał osłonięcia lustra wody przed promieniowaniem słonecznym; większa dostępność światła (na skutek braku zacielenia przez korony drzew) skutkowała bowiem intensywnym rozwojem nadbrzeżnych krzewów, traw i bylin, które niemal całkowicie osłaniały lustro wody. Dodatkowe zacielenie, szczególnie w przypadku punktów T4 i T8, zapewniała także roślinność wodna – lokalnie koryta tych cieków były silnie zarośnięte przez zbiorowiska jeżogłówki pojedynczej *Sparganium emersum* L., strzałki wodnej *Sagittaria sagittifolia* L., mozgi trzcinowatej *Phalaris arundinacea* L. oraz trzciny pospolitej *Phragmites australis* (Cav.) Trin. ex Steud. Warto podkreślić, że obecność zwartych zbiorowisk makrofitów, jak udowodnił Willis i in. (2017) na przykładzie Big Springs Creek w Stanach Zjednoczonych Ameryki, powoduje obniżenie maksymalnych wartości temperatury wody.

W nawiązaniu do powyższych ustaleń należy stwierdzić, iż rzeczywisty stopień zacielenia koryta niewielkich cieków nizinnych jest niemożliwy do liczbowej kwantyfikacji za pomocą danych satelitarnych, nawet z wykorzystaniem zobrazowań obszarów zadrzewionych z misji Sentinel, cechujących się dużą rozdzielczością czasową (mającą wpływ na aktualność zdjęć) oraz przestrzenną (piksel 10 m). Ocena taka wymaga wykorzystania dokładniejszych metod, uwzględniających wspomniane osłonięcie koryta przez nadbrzeż-

ne krzewy i trawy, a także roślinność wodną. Optymalnym rozwiązaniem do mapowania osłonięcia koryta wydaje się zastosowanie bezzałogowych statków powietrznych (UAV), odgrywających coraz większą rolę w badaniach obszarów leśnych i zadrzewionych (Zmarz 2014). Pomocniczą metodę może stanowić również terenowa weryfikacja zacienienia, np. z wykorzystaniem hemisferycznych fotografii, wykonywanych z poziomu lustra wody (Bartnik, Moniewski 2011).

Przedstawione wnioski nie stoją w sprzeczności z wynikami badań innych autorów, którzy wykazali moderujący wpływ zalesienia zlewni i stref nadbrzeżnych na temperaturę wody cieków w okresie letnim (m.in. Hrachowitz et al. 2010; Imholt et al. 2013a; Ptak 2017). Wspomniane badania dotyczyły bowiem zazwyczaj większych cieków (o powierzchni zlewni wynoszącej od kilkudziesięciu do kilkuset km²), których temperatura, przede wszystkim na skutek dłuższej ekspozycji wody na warunki meteorologiczne, a także szerszego koryta, jest bardziej uzależniona od osłonięcia lustra wody przez drzewa. W przypadku niewielkich wąskich cieków, oprócz zacienienia związanego z obecnością krzewów i traw (Beschta 1997), duże znaczenie w kształtowaniu temperatury ma również zasilanie podziemne (Poole, Berman 2001). Fakt ten wskazuje na konieczność zachowania ostrożności w stosowaniu metryk, wykorzystywanych w modelach statystycznych identyfikowanych uprzednio dla cieków o odmiennych parametrach abiotycznych.

Konflikt interesów

Autorzy deklarują brak potencjalnych konfliktów.

Źródło finansowania badań

Badania zostały sfinansowane przez Uniwersytet Warszawski (DSM: 501-D119-86-0115500-05).

Literatura

- Bagan H., Kinoshita T., Yamagata Y. 2012. Combination of AVNIR-2, PALSAR, and polarimetric parameters for land cover classification. *IEEE Transactions on Geoscience and Remote Sensing* 50(4): 1318–1328. DOI 10.1109/TGRS.2011.2164806.
- Benjamin J.R., Heltzel J.M., Dunham J.B., Heck M., Banish N. 2016. Thermal Regimes, Nonnative Trout, and Their Influences on Native Bull Trout in the Upper Klamath River Basin, Oregon. *Transactions of the American Fisheries Society* 145(6): 1318–1330. DOI 10.1080/00028487.2016.1219677.
- Beschta R.L. 1997. Riparian Shade and Stream Temperature: An Alternative Perspective. *Rangelands* 19(2): 25–28.
- Brown A.E., Western A.W., McMahon T.A., Zhanga L. 2013. Impact of forest cover changes on annual streamflow and flow duration curves. *Journal of Hydrology* 483: 39–50. DOI 10.1016/j.jhydrol.2012.12.031.
- Brown L.E., Cooper L., Holden J., Ramchunder J. 2010. A comparison of stream water temperature regimes from open and afforested moorland, Yorkshire Dales, northern England. *Hydrological Processes* 24(22): 3206–3218. DOI 10.1002/hyp.7746.
- Bartnik A., Moniewski P. 2011. River Bed Shade and its Importance in the Process of Studying of the Fundamental Physico-Chemical Characteristics of Small River Waters. *Contemporary Problems of Management and Environmental Protection* 7: 137–149.
- Caissie D. 2006. The thermal regime of rivers: a review. *Freshwater Biology* 51: 1389–1406. DOI 10.1111/j.1365-2427.2006.01597.x.
- Dalponi M., Bruzzone L., Gianelle D. 2012. Tree species classification in the Southern Alps based on the fusion of very high geometrical resolution multispectral/hyperspectral images and LiDAR data. *Remote Sensing of Environment* 123: 258–270. DOI 10.1016/j.rse.2012.03.013.
- Hrachowitz M., Soulsby C., Imholt C. 2010. Thermal regimes in a large upland salmon river: a simple model to identify the influence of landscape controls and climate change on maximum temperatures. *Hydrological Processes* 24(23): 3374–3391. DOI 10.1002/hyp.7756.
- Imholt C., Soulsby C., Malcolm I.A., Gibbins C.N. 2013a. Influence of contrasting riparian forest cover on stream temperature dynamics in salmonid spawning and nursery streams. *Ecology* 6(3): 380–392. DOI 10.1002/eco.1291.
- Imholt C., Soulsby C., Malcolm I.A., Hrachowitz M., Gibbins C.N., Langan S., Tetzlaff D. 2013b. Influence of scale on thermal characteristics in a large montane river basin. *River Research and Applications* 29(4): 403–419. DOI 10.1002/rra.1608.
- Kosmowska A., Żelazny M., Małek S., Siwek J.P. 2015. Wpływ wylesień na krótkoterminowe zmiany składu chemicznego wody w zlewni Potoku Malinowskiego (Beskid Śląski). *Sylwan* 159(9): 778–790.
- Kristensen P.B., Kristensen E.A., Riis T., Alnoe A.B., Larsen S.E., Verdonchot P.F.M., Baattrup-Pedersen A. 2015. Riparian forest as a management tool for moderating future thermal conditions of lowland temperate streams. *Inland Waters* 5(1): 27–38. DOI 10.5194/hessd-10-6081-2013.
- Lin Y., Wei X. 2008. The impact of large-scale forest harvesting on hydrology in the Willow watershed of Central British Columbia. *Journal of Hydrology* 359(1-2): 141–149. DOI 10.1016/j.jhydrol.2008.06.023.
- Mahlum S.K., Eby L.A., Young M.K., Clancy C.G., Jakober M. 2011. Effects of wildfire on stream temperatures in the Bitterroot River Basin, Montana. *International Journal of Wildland Fire* 20: 240–247. DOI 10.1071/WF09132.
- Malcolm I.A., Hannah D.M., Donaghy M.J., Soulsby C., Youngson A.F. 2004. The influence of riparian woodland on the spatial and temporal variability of stream water temperatures in an upland salmon stream. *Hydrology and Earth System Science* 8(3): 449–459. DOI 10.5194/hess-8-449-2004.
- Peel M.C., McMahon T.A., Finlayson B.L. 2010. Vegetation impact on mean annual evapotranspiration at a global catchment scale. *Water Resources Research* 46, W09508. DOI 10.1029/2009WR008233.
- Pierzgałski E. 2008. Relacje między lasem a wodą – przegląd problemów. *Studia i materiały Centrum Edukacji Przyrodniczo-Leśnej w Rogowie* 10(2): 13–23.
- Poole G.C., Berman C.H. 2001. An ecological perspective on in-stream temperature: natural heat dynamics and mechanisms of human-caused thermal degradation. *Environmental Management* 27(6): 787–802.
- Ptak M. 2017. Wpływ zalesienia zlewni na temperaturę wody w rzece. *Leśne Prace Badawcze* 78(3): 251–256. DOI 10.1515/frp-2017-0028.

- Robinson M., Cognard-Plancq A.L., Cosandey C., David J., Durand P., Fuhrer H.W. Hall R., Hendriques M.O., Marc V., McCarthy R., McDonnell M., Martin C., Nibset T., O’Dea P., Rodgers M., Zollner A. 2003. Studies of the impact of forests on peak flows and baseflows: a European perspective. *Forest Ecology and Management* 186(1-3): 85–97. DOI 10.1016/S0378-1127(03)00238-X.
- Stott T., Marks S. 2000. Effects of plantation forest clearfelling on stream temperatures in the Plynlimon experimental catchments, mid-Wales. *Hydrology and Earth System Sciences* 4(1): 95–104.
- Wietecha M., Modzelewska A., Stereńczak K. 2017. Wykorzystanie lotniczej teledetekcji hiperspektralnej w klasyfikacji gatunkowej lasów strefy umiarkowanej. *Sylwan* 161(1): 3–17.
- Willis A.D., Nichols A.L., Holmes E.J., Jeffres C.A., Fowler A.C., Babcock C.A., Deas M.L. 2017. Seasonal aquatic macrophytes reduce water temperatures via a riverine canopy in a spring-fed stream. *Freshwater Science* 36(3): 508–522. DOI 10.1086/693000.
- Zmarz A. 2014. UAV – a useful tool for monitoring woodlands. *Miscellanea Geographica* 18(2): 46–52. DOI 10.2478/mgrsd-2014-0006.
- Żelazny M., Siwek J.P., Fidelus J., Stańczyk T., Siwek J., Rutkowska A., Kruk P., Wolanin A., Jelonekiewicz Ł. 2017. Wpływ wiatrolomu i degradacji drzewostanu na zróżnicowanie chemizmu wód w zlewni Potoku Kościeliskiego w obszarze Tatrzańskiego Parku Narodowego. *Sylwan* 161(1): 27–33.

Wkład autorów

M.Ł. – koncepcja, zestawienie danych, analiza statystyczna, interpretacja wyników, przygotowanie maszynopisu, przegląd literatury; W.K. – zestawienie danych, przygotowanie maszynopisu.

The influence of riparian woodlands on the thermal conditions of small lowland streams during the summer

Maksym Łaszewski^{1*} , Wojciech Kiryła²

¹University of Warsaw, Faculty of Geography and Regional Studies, Department of Hydrology, ul. Krakowskie Przedmieście 30, 00–927 Warszawa, Poland; ² Institute of Geodesy and Cartography, Remote Sensing Centre, ul. Kaczmarskiego 27, 02–679 Warszawa, Poland

*Tel. +48 601 189 824, e-mail: m.laszewski@uw.edu.pl

Abstract. Riparian woodlands significantly affect the water quality of streams and rivers. Thus, we examined whether the presence of woodlands in riparian buffer zones also impacts the thermal characteristics of lowland streams during the summer. Water temperature data were recorded with digital temperature loggers located in eight quasi-natural sites across the Garwolin Plain in central Poland. The mean, maximum, minimum, and mean daily range parameters were calculated for the whole study period from July to September 2017 with a 30 min. resolution. The percentage of woodlands in the catchment area and buffer zone along the streams was estimated based on satellite images from the Sentinel-1 and Sentinel-2 missions. The Random Forest method was used in the classification process with an accuracy of 96%. The similarity of measurement sites in terms of water temperature was determined using cluster analysis (Ward method), while a Spearman correlation coefficient was applied to compare thermal parameters with the percentage of woodland areas.

The results indicate that water temperature patterns across the measurement sites varied, with mean temperatures ranging from 14.4°C in site T8 to 16.3°C in site T1. Furthermore, the correlation analysis confirmed our hypothesis that the presence of woodland areas does not significantly alter the thermal parameters of lowland streams. Moreover, the cluster analysis showed that sites with significantly different percentages of woodland areas were closely linked due to the similar distributions of water temperature values. However, it must be emphasised that the lack of riparian woodlands in buffer zones does not exclude the presence of shade associated with shrubs and grasses, as well as aquatic plants. In consequence, more advanced indicators of riparian shade, such as vegetation mapping using unmanned aerial vehicle (UAV) or hemispherical photography, should be used for small lowland streams.

Keywords: water temperature, satellite images, woodland areas, lowland streams

1. Introduction

The issues concerning the impact of woodland areas on the quantity and quality of water resources occupy an important place in the hydrological literature and are characterised by a large diversity of research topics (Pierzgałski 2008). Most attention has been given to the retention function of forests, which is important in shaping drainage outflow (Brown et al. 2013) and mitigating the negative effects of extreme events - floods and low water levels (Robinson et al. 2003; Lin, Wei 2008). The presence of woodland areas in a catchments has been shown to determine the intensity of evapotranspiration (Peel et al. 2010), whilst deforestation

and tree stand degradation (as a result of pest gradation) have been found to influence the chemical composition of water, including the concentration of nitrates (Kosmowska et al. 2015; Żelazny et al. 2017). The presence of woodland areas also strongly affects the local microclimate, which is responsible for shaping the heat energy budget of river waters and, as a result, their temperature (Caissie 2006). However, water temperature is one of the most important water quality parameters of fundamental ecological importance; its maximum values determine the geographical ranges of individual fish and invertebrate species, seasonal and daily variations determine bioenergetics and the rate of physiological processes, whilst the time when specific values occur

Received: 26.06.2018, reviewed: 6.08.2018, accepted: 20.08.2018.

during the year is important in the context of migration and spawning (Benjamin et al. 2016).

Studies of the impact of woodland areas on the thermal system of watercourses focused on comparing selected thermal traits at measuring sites shaded by trees and those lacking shade located along the longitudinal profile of a single watercourse (Malcolm et al 2004; Imholt et al. 2013a), as well as within a larger number of catchments (Kristensen et al. 2015). Issues relating to the impact of deforestation (Stott, Marks 2000) and forest fires (Mahlum et al. 2011) on changes in the thermal characteristics of river waters were also discussed. The percentage of woodland areas was also included as an explanatory variable in statistical models linking landscape metrics to thermal parameters (Hrachowitz et al. 2010; Imholt et al. 2013b). It should be emphasised that the empirical data of most studies concerned mountain or upland rivers, characterised by a steep slope and lack of aquatic macrophytes.

The purpose of this article is to assess the impact of woodland areas on the water temperature of lowland watercourses. On the basis of our own measurements of water temperature and the identification of woodland areas using satellite image classification, we examined whether the percentage of woodland areas is reflected in the thermal characteristics of watercourses during the summer. For the purpose of the study, eight lowland catchments located in central Poland were compared, characterised by a diversified level of afforestation of the catchment areas and riparian zones.

2. Study area

Water temperature of watercourses in the hydrographic network of the middle Świder River, a lowland tributary of the Vistula River, with a length of 99 km and a catchment area of 1160.7 km², were measured. The catchments at the end of the measurement sites are located within the flat, fluvial Garwolin Plain in which the soils are dominated by post-glacial sands, gravels and boulder clay; their absolute height varies from 117 to 178 m. The area is located in a temperate climate zone having transitional features, with an average annual air temperature of approximately 8–9°C and an annual rainfall of approximately 500–550 mm. The river channels are characterised by a straight or winding course, small depth (maximum 80–100 cm) and a width of 1–2 m, on an average. In some sections, ash-alder *Fraxino-Alnetum* and willow-poplar *Salici-Populetum* forests mainly grow along the banks. In addition to the riverine forests, the forest assemblage of the catchment is formed by dense complexes of mixed conifer forests *Quercus roboris-Pinetum*, consisting mainly of Scots pine (*Pinus sylvestris* L.), birch (*Betula* L.) and oak (*Quercus* L.). The study area has a small degree of urbanisation – the percentage of anthropogenic areas is from 0.1% in the catchment of T6 to 7.0% in T4.

3. Methods and materials

3.1. Field measurements

Water temperature was measured from July 1 to September 30, 2017. This range was aimed at excluding the temporal variability of the degree of shading associated with the presence of conifers and deciduous trees – it was assumed that as of July, tree leaves are fully developed, which allowed us to distinguish one class, regardless of the type of trees. The measurements were taken with HOBO UA-001-08 Pendant digital water temperature recorders (Onset Computer Corporation) with an accuracy of 0.4°C and a resolution of 0.01°C. The devices were placed in the current in perforated shields attached to boulders or wooden logs and stakes. The measurement sites were located in watercourses that ensured a stable water flow during the summer period as well as in those characterised by a varied level of afforestation in the buffer zones (riparian zones) (Figure 1). Four basins were selected to represent first-order watercourses, whose area did not exceed 10 km², and four catchments were selected with a larger area (from 18.5 to 38.7 km²), representing second-order watercourses (Table 1).

3.2. Assessment of the percentage of tree cover

The identification of woodland areas was based on the classification of satellite images obtained from the Sentinel-1 and Sentinel-2 satellites. In the case of Sentinel-1, radar data (type C wave) images recorded between 1-31 May 2017, 1-30 June and 1-31 October 2017 were used (a

Table 1. Characteristics of water temperature measurements sites

P	A [km ²]	L [km]	W:D [-]	W1 [%]	W2 [%]	W3 [%]
T1	23.8	9.2	15.7	33.4	24.3	0.0
T2	7.5	5.1	11.3	29.1	44.4	67.8
T3	19.0	6.4	7.5	50.8	61.5	15.8
T4	9.3	5.4	10.3	12.7	9.7	0.0
T5	38.7	11.9	32.8	29.3	30.9	96.5
T6	8.4	5.6	6.9	13.1	9.3	52.1
T7	18.5	6.1	10.2	57.1	43.2	0.0
T8	9.1	5.1	10.2	57.9	48.1	1.4

Explanations: P – measurement profile, A – catchment area, L – distance from the source, W:D – width:depth ratio, W1 – percentage of woodland area in the catchment area, W2 – percentage of woodland area in the buffer zone upstream to the source, W3 – percentage of woodland area in the buffer zone 1 km upstream

separate median mosaic of images for VH and VV polarisation was made for each month). In the case of optical data from Sentinel-2 (with a radiometric resolution of 12 bits), the display from 17 October 2017 was used, which was characterised by a lack of cloud cover (0% cloud cover), facilitating the distinction of woodland from crop and meadow vegetation. For the purpose of the classification, channels 2, 3, 4, 8 (with a resolution of 10 m) and 12 (with a resolution of 20 m) were selected. The atmospheric correction of the Sentinel-2 imaging was performed automatically in dedicated Sen2Cor 2.4.0 software. Then, the SNAP 6.0.0 program was used to resample the pixels from the data to a resolution of 10 m and cut to the border of the analysed area. The final stage preceding classification was the combination of Sentinel-1 radar data with Sentinel-2 optical data; this process leads to an overall increase in the accuracy of the classification algorithm (Bagan et al. 2012).

The land cover classification distinguished two classes, that is, areas with and without tree cover, in the EnMap Box 2.2.1 program. The Random Forest classifier (RF – algorithm of random decision trees) was selected as the classification algorithm, which allows the relatively best results

to be obtained compared to other algorithms, for example, SVM – Support Vector Machine (Dalponte et al. 2012; Wietecha et al. 2017). The total accuracy of the classification was 94.9%, the accuracy of the producer was 91.4%, the accuracy of the user 90.9% for the woodland and 96.4% for non-woodland areas and the Kappa factor was 87.3%.

The classification results allowed calculations to be made of the percentage of woodland areas within the total catchment area (Ptak 2017), a 50-m wide buffer zone delineated on both banks upstream to the sources, as well as on a 1-km section upstream from the measurement site, similar to Hrachowitz et al. (2010). Spatial analyses were performed in the ESRI ArcMap 10.2.2 program.

3.3. Statistical methods

In order to characterise the thermal conditions during the analysed period, basic statistical parameters were determined for all measurement sites: average temperature, maximum temperature, minimum temperature and average daily range. Verifying the statistical significance of differences in the temperature distribution between the measurement sites required

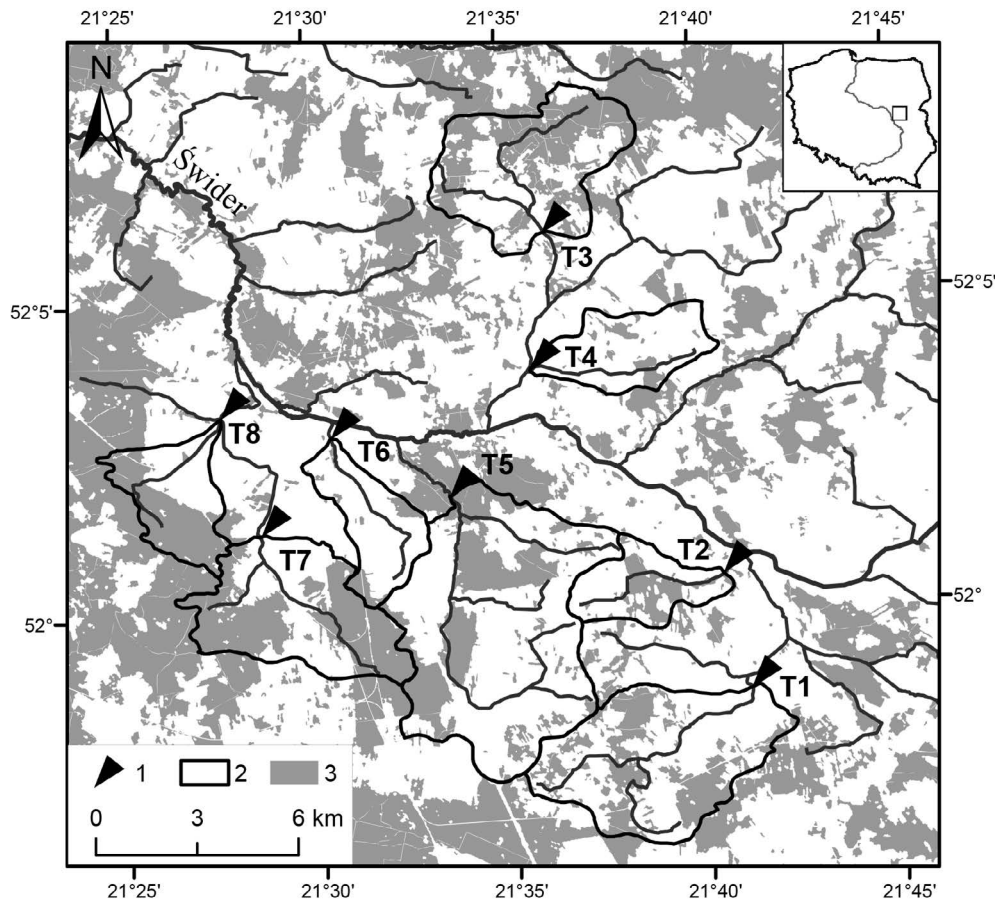


Figure 1. Locations of measurement sites on the background of forested and woodland areas

Explanations: 1 – measurement sites, 2 – catchment area, 3 – forest and woodland areas

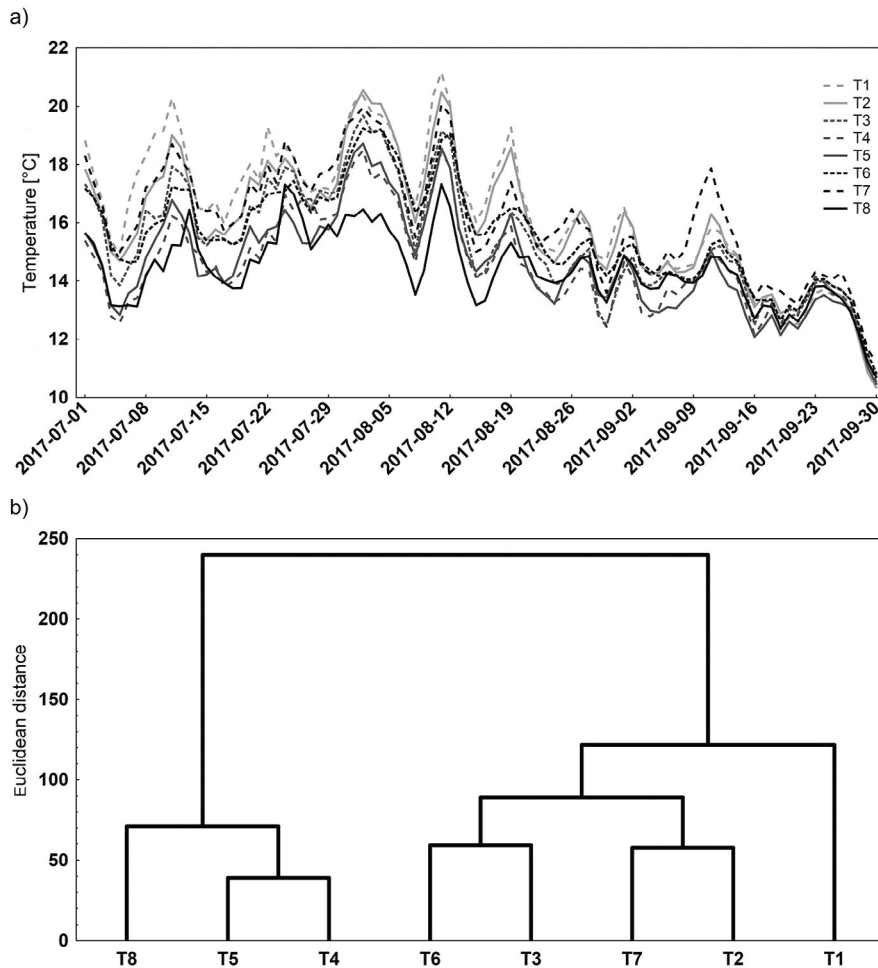


Figure 2. Mean daily water temperature patterns in the measurement sites (a) and dendrogram showing the results of grouping by Ward method (b)

the use of the Kruskal–Wallis nonparametric test and Dunn’s multiple vertical rank test (post-hoc); the statistically significant threshold was assumed at $p = 0.05$. To isolate the sites with the greatest similarity in terms of water temperature variability, the Ward agglomeration method was used – the Euclidean distance was assumed as the measure of the similarity of the sites. Relationships between the percentage of woodland area (W1, W2 and W3) and the thermal parameters were determined using the Spearman rank correlation coefficient.

4. Results

In the analysed period, the water temperature of lowland watercourses was characterised by a marked spatial differentiation (Figure 2a). Average water temperature values from July to September reached from 14.4°C at T8 to 16.3°C at T1 (Table 2). Even greater spatial variability was noted for the absolute maximum water temperature, which ranged from 18.8°C at T8 to even 25.9°C at T1. All sites had similar values for minimum

water temperature, from 9.0°C in T7 to 10.5°C in T6. The daily temperature range of the water in the study period reached, on an average, from 1.0°C in T6 to 4.2°C in T1. The result of the Kruskal–Wallis test indicates that the differences between the medians of water temperature distribution within the study sites were statistically significant ($p < 0.05$); the post-hoc test, however, proves the lack of statistical significance between the medians of the temperature distribution within sites T1, T2 and T7, as well as between sites T4 and T5 ($p > 0.05$). The correlation analysis showed that none of the metrics showing the extent of afforestation of the catchment area and buffer zones (W1, W2 and W3) was related in a statistically significant way to the thermal parameters (Table 3).

The Ward agglomeration method allowed two-point clusters to be distinguished (Fig. 2b). The first includes sites T4, T5 and T8, representing watercourses characterised by the lowest average values and relatively low maximum water temperature values, not exceeding 20.5°C (Fig. 2b). The second cluster included the remaining sites T1, T2, T3, T6

Table 2. Thermal parameters of water in the investigated sites

P	T_avg [°C]	T_max [°C]	T_min [°C]	T_range [°C]
T1	16.3	25.9	9.6	4.2
T2	16.0	22.4	9.4	2.4
T3	15.4	20.9	9.7	2.3
T4	14.6	20.5	10.0	2.7
T5	14.6	20.4	9.6	2.5
T6	15.6	19.6	10.5	1.0
T7	16.1	21.5	9.0	2.9
T8	14.4	18.8	10.0	2.2

Explanations: P – measurement profile, T_avg – mean temperature, T_max – maximum temperature, T_min – minimum temperature, T_range – mean daily range

Table 3. Spearman correlation coefficients between water temperature parameters and contribution of woodland area (metrics W1, W2, and W3). Statistically significant correlation values are bolded ($p < 0,05$)

	T_avg	T_max	T_min	T_range	W1	W2	W3
T_avg	1.00						
T_max	0.83	1.00					
T_min	-0.57	-0.72	1.00				
T_range	0.51	0.71	-0.64	1.00			
W1	-0.01	-0.02	-0.31	0.02	1.00		
W2	-0.19	0.07	-0.34	-0.19	0.71	1.00	
W3	-0.27	-0.29	0.02	-0.56	-0.22	0.15	1.00

and T7, which were characterised by higher average values – from 15.4°C to 16.3°C – and maximum values – from 19.6°C to 25.9°C. Within the second cluster, attention is drawn to site T1, which has the highest water temperature average and maximum value, as well as the highest daily variation, with an average range of 4.2°C. Within the T4, T5 and T8 cluster, the percentage of woodland area in the buffer zones was varied and reached from 0.0% to 96.5% over the 1-km distance and from 9.7% to 48.1% in the section upstream to the sources. A similar situation exists in the case of warmer watercourses (T1, T2, T3, T6 and T7), where the percentage of woodland area was between 0.0% and 67.8% along the 1-km section and from 9.3% to 61.5% in the seg-

ments upstream to the sources. As a result, sites having a similar degree of riparian zone afforestation, as in the case of T7 and T8, were characterised by different thermal conditions and were included in separate clusters (Figure 2b).

5. Summary and conclusions

As documented in the literature, the heat energy budget of flowing waters is shaped mainly by radiation energy flows, primarily short-wave solar radiation and long-wave radiation (Caissie 2006). Covering the water surface with trees and shrubs has a significant impact on its modification – it has been proven that as a result of absorbing and reflecting solar radiation, vegetation significantly reduces maximum temperature values (Imholt et al. 2013a). Dense tree crowns also limit the night radiation of heat from water and emit their own long-wave radiation, causing an increase in the minimum temperature and, consequently, a reduction in daily fluctuations (Brown et al., 2010). However, in the case of small lowland watercourses, the percentage of tree-lined areas designated within their catchments and riparian zones based on satellite imaging did not exhibit a clear link to the values of individual thermal parameters, which was indicated by the obtained values of the rank correlation coefficients. Both the measurement sites characterised by a significant percentage of trees in the riparian zone as well as those completely devoid of shading were found to have similar thermal conditions in the study period. For example, despite the considerably different degree of riparian zone afforestation at sites T4 and T5, very similar thermal parameter values were found. The case of sites T2 and T7 was analogous, they were characterised by a similar mean, maximum and minimum water temperature values. It should be emphasised that the lack of woodland area did not preclude the water surface from being shaded against solar radiation; the greater availability of light (because of the lack of shade from tree crowns) resulted in an intensive development of shrubs, grasses and perennials along the banks, which almost completely covered the water surface. Additional shading, especially in the case of site T4 and T8, was also provided by aquatic macrophytes – locally, the channel of these watercourses was heavily overgrown by plant communities of European bur-reed (*Sparganium emersum* L.), arrowhead (*Sagittaria sagittifolia* L.), reed canary grass (*Phalaris arundinacea* L.) and phragmites (*Phragmites australis* (Cav.) Trin. ex Steud.). It is worth noting that the presence of compact macrophyte communities, as Willis et al. have shown (2017) with the example of Big Springs Creek in the United States, causes a reduction in maximum water temperature.

With reference to the above findings, it should be noted that the actual degree of shading of small lowland watercourses is impossible to quantify numerically using satellite

data, even using images of woodland areas from the Sentinel mission, characterised by high temporal (affecting the currentness of the photos) and spatial (pixel 10 m) resolutions. Such an assessment requires the use of more accurate methods, taking into account the said channel cover by shrubs and grasses along the banks, as well as aquatic vegetation. The use of unmanned aerial vehicles (UAVs), which are playing an increasingly important role in researching forest and wooded areas (Zmarz 2014), seems to be the optimal solution for mapping the cover of a watercourse channel. An auxiliary method may also be used for the field verification of shading, for example, using hemispherical photographs taken from the level of the water surface (Bartnik, Moniewski 2011).

The conclusions presented do not contradict the research results of other authors who demonstrated a moderating influence of afforestation in catchment areas and riparian zones on the water temperature of watercourses in the summer period (including Hrachowitz et al. 2010; Imholt et al. 2013a; Ptak 2017). The research mentioned usually concerned larger watercourses (with catchment areas ranging from several dozen to several hundred square kilometre), whose temperature, mainly due to the longer exposure of water to meteorological conditions as well as to wider riverbeds, is more dependent on the extent of tree cover over the water surface. In the case of small, narrow watercourses, besides the shading associated with the presence of shrubs and grasses (Beschta 1997), the groundwater inflow (Poole, Berman 2001) is also important in shaping water temperature. This fact indicates the need to be careful in applying the metrics used in statistical models previously identified for watercourses having different abiotic parameters.

Conflict of interest

The authors declare no potential conflicts of interest.

Acknowledgment and source of funding

The research was funded by the University of Warsaw (DSM: 501-D119-86-0115500-05).

References

- Bagan H., Kinoshita T., Yamagata Y. 2012. Combination of AVNIR-2, PALSAR, and polarimetric parameters for land cover classification. *IEEE Transactions on Geoscience and Remote Sensing* 50(4): 1318–1328. DOI 10.1109/TGRS.2011.2164806.
- Benjamin J.R., Heltzel J.M., Dunham J.B., Heck M., Banish N. 2016. Thermal Regimes, Nonnative Trout, and Their Influences on Native Bull Trout in the Upper Klamath River Basin, Oregon. *Transactions of the American Fisheries Society* 145(6): 1318–1330. DOI 10.1080/00028487.2016.1219677.
- Beschta R.L. 1997. Riparian Shade and Stream Temperature: An Alternative Perspective. *Rangelands* 19(2): 25–28.
- Brown A.E., Western A.W., McMahon T.A., Zhanga L. 2013. Impact of forest cover changes on annual streamflow and flow duration curves. *Journal of Hydrology* 483: 39–50. DOI 10.1016/j.jhydrol.2012.12.031.
- Brown L.E., Cooper L., Holden J., Ramchunder J. 2010. A comparison of stream water temperature regimes from open and afforested moorland, Yorkshire Dales, northern England. *Hydrological Processes* 24(22): 3206–3218. DOI 10.1002/hyp.7746.
- Bartnik A., Moniewski P. 2011. River Bed Shade and its Importance in the Process of Studying of the Fundamental Physico-Chemical Characteristics of Small River Waters. *Contemporary Problems of Management and Environmental Protection* 7: 137–149.
- Caissie D. 2006. The thermal regime of rivers: a review. *Freshwater Biology* 51: 1389–1406. DOI 10.1111/j.1365-2427.2006.01597.x.
- Dalponte M., Bruzzone L., Gianelle D. 2012. Tree species classification in the Southern Alps based on the fusion of very high geometrical resolution multispectral/hyperspectral images and LiDAR data. *Remote Sensing of Environment* 123: 258–270. DOI 10.1016/j.rse.2012.03.013.
- Hrachowitz M., Soulsby C., Imholt C. 2010. Thermal regimes in a large upland salmon river: a simple model to identify the influence of landscape controls and climate change on maximum temperatures. *Hydrological Processes* 24(23): 3374–3391. DOI 10.1002/hyp.7756.
- Imholt C., Soulsby C., Malcolm I.A., Gibbins C.N. 2013a. Influence of contrasting riparian forest cover on stream temperature dynamics in salmonid spawning and nursery streams. *Ecohydrology* 6(3): 380–392. DOI 10.1002/eco.1291.
- Imholt C., Soulsby C., Malcolm I.A., Hrachowitz M., Gibbins C.N., Langan S., Tetzlaff D. 2013b. Influence of scale on thermal characteristics in a large montane river basin. *River Research and Applications* 29(4): 403–419. DOI 10.1002/rra.1608.
- Kosmowska A., Żelazny M., Małek S., Siwek J.P. 2015. Wpływ wylesień na krótkoterminowe zmiany składu chemicznego wody w zlewni Potoku Malinowskiego (Beskid Śląski). *Sylwan* 159(9): 778–790.
- Kristensen P.B., Kristensen E.A., Riis T., Alnoe A.B., Larsen S.E., Verdonschot P.F.M., Baattrup-Pedersen A. 2015. Riparian forest as a management tool for moderating future thermal conditions of lowland temperate streams. *Inland Waters* 5(1): 27–38. DOI 10.5194/hessd-10-6081-2013.
- Lin Y., Wei X. 2008. The impact of large-scale forest harvesting on hydrology in the Willow watershed of Central British Columbia. *Journal of Hydrology* 359(1-2): 141–149. DOI 10.1016/j.jhydrol.2008.06.023.
- Mahlum S.K., Eby L.A., Young M.K., Clancy C.G., Jakober M. 2011. Effects of wildfire on stream temperatures in the Bitterroot River Basin, Montana. *International Journal of Wildland Fire* 20: 240–247. DOI 10.1071/WF09132.
- Malcolm I.A., Hannah D.M., Donaghy M.J., Soulsby C., Youngson A.F. 2004. The influence of riparian woodland on the spatial and temporal variability of stream water temperatures in an

- upland salmon stream. *Hydrology and Earth System Science* 8(3): 449–459. DOI 10.5194/hess-8-449-2004.
- Peel M.C., McMahon T.A., Finlayson B.L. 2010. Vegetation impact on mean annual evapotranspiration at a global catchment scale. *Water Resources Research* 46, W09508. DOI 10.1029/2009WR008233.
- Pierzgałski E. 2008. Relacje między lasem a wodą – przegląd problemów. *Studia i materiały Centrum Edukacji Przyrodniczo-Leśnej w Rogowie* 10(2): 13–23.
- Poole G.C., Berman C.H. 2001. An ecological perspective on in-stream temperature: natural heat dynamics and mechanisms of human-caused thermal degradation. *Environmental Management* 27(6): 787–802.
- Ptak M. 2017. Wpływ zalesienia zlewni na temperaturę wody w rzece. *Leśne Prace Badawcze* 78(3): 251–256. DOI 10.1515/frp-2017-0028.
- Robinson M., Cognard-Plancq A.L., Cosandey C., David J., Durand P., Fuhrer H.W. Hall R., Hendriques M.O., Marc V., McCarthy R., McDonnell M., Martin C., Nibset T., O’Dea P., Rodgers M., Zollner A. 2003. Studies of the impact of forests on peak flows and baseflows: a European perspective. *Forest Ecology and Management* 186(1-3): 85–97. DOI 10.1016/S0378-1127(03)00238-X.
- Stott T., Marks S. 2000. Effects of plantation forest clearfelling on stream temperatures in the Plynlimon experimental catchments, mid-Wales. *Hydrology and Earth System Sciences* 4(1): 95–104.
- Wietecha M., Modzelewska A., Stereńczak K. 2017. Wykorzystanie lotniczej teledetekcji hiperspektralnej w klasyfikacji gatunkowej lasów strefy umiarkowanej. *Sylwan* 161(1): 3–17.
- Willis A.D., Nichols A.L., Holmes E.J., Jeffres C.A., Fowler A.C., Babcock C.A., Deas M.L. 2017. Seasonal aquatic macrophytes reduce water temperatures via a riverine canopy in a spring-fed stream. *Freshwater Science* 36(3): 508–522. DOI 10.1086/693000.
- Zmarz A. 2014. UAV – a useful tool for monitoring woodlands. *Miscellanea Geographica* 18(2): 46–52. DOI 10.2478/mgrsd-2014-0006.
- Żelazny M., Siwek J.P., Fidelus J., Stańczyk T., Siwek J., Rutkowska A., Kruk P., Wolanin A., Jelonekiewicz Ł. 2017. Wpływ wiatrołomu i degradacji drzewostanu na zróżnicowanie chemizmu wód w zlewni Potoku Kościeliskiego w obszarze Tatrzańskie-go Parku Narodowego. *Sylwan* 161(1): 27–33.

Author’s contribution

M.Ł. – concept, preparing the data, statistical analysis, interpreting the results, preparing the manuscript, literature review; W.K. – preparing the data, preparing the manuscript.